

بررسی نقش افزودن ۰/۰۰۵٪ زیرکونیم، به عنوان یک عنصر میکروآلیاژ، به فولاد کم کربن

حامد علی اکبرزاده، مرتضی تمیزی‌فر، شمس‌الدین میردامادی و احمد عبدالحسینی

چکیده: فولادهای میکروآلیاژی به عنوان خانواده‌ای از فولادهای کم آلیاژ با استحکام بالا، دارای استحکام و خواص انعطاف‌پذیری مناسبی هستند. در فولادهای میکروآلیاژ ریختگی خواص مطلوب با انجام عملیات حرارتی مناسب بدست می‌آید؛ این عملیات شامل همگن کردن، آستینیته و نرماله یا کوئنچ در آب، به همراه تمپر یا پیربرگشتی می‌باشدند. از طرفی مشخصات ترمودینامیکی زیرکونیم نشان از تمايل شدید این عنصر برای ترکیب با اکسیژن، نیتروژن و کربن دارد. با این وجود در صورت اکسیژن‌زادی مناسب مذاب، زیرکونیم می‌تواند تشکیل رسوبات کاربیدی، نیتریدی و یا کربونیتریدی دهد. از آنجا که خواص فیزیکی حالت جامد ZrN و TiN به یکدیگر نزدیک می‌باشند، می‌توان رفتار مشابهی بین نیترید زیرکونیم و نیترید تیتانیم پیش‌بینی نمود.

در این پژوهش فولاد کم کربنی با ۰/۰۰۵٪ درصد زیرکونیم تهیه شد. سپس فرآیندهای عملیات حرارتی مورد نظر، بر روی نمونه انجام پذیرفت. با انجام آزمایش‌های سختی‌سنگی، ضربه، متالوگرافی و SEM نتایج حاصل با نمونه شاهد (نمونه بدون زیرکونیم) مقایسه و مورد ارزیابی قرار گرفت.

نتایج نشان می‌دهند که با افزودن ۰/۰۰۵٪ درصد زیرکونیم به فولاد، چرمگی ضربه حالت پیربرگشتی فولاد از ۲۰/۱ به ۳۸/۴ ژول افزایش می‌یابد. در حالیکه این تفاوت در حالت همگن شده محسوس نمی‌باشد. همچنین سختی حالت پیربرگشتی نیز افزایشی به میزان ۶۰ ویکرز را نشان می‌دهد. از طرفی متوسط اندازه دانه در حالت همگن، از ۱۵/۷ به ۱۱/۳ میکرون تنزل یافته است. در عین حال که MAP عناصر، توزیع نسبتاً یکنواختی از عناصر را نشان می‌دهد.

واژه‌های کلیدی: زیرکونیم، فولاد میکروآلیاژ ریختگی، عملیات حرارتی، خواص مکانیکی

رسوب‌دهی و تشکیل رسوبات به صورت فاز دوم را بر عهده دارند [۱] و [۲,۳]. در مدت زمان توسعه و استفاده از فولادهای میکروآلیاژی، بیشتر مطالعات انجام شده بر روی انواع نورده این فولادها بوده است. در نوع نورده، از عملیات ترمومکانیکی برای رسیدن به ساختار ریزدانه به همراه رسوب سختی، به منظور دستیابی به خواص مورد نظر استفاده می‌شود؛ در حالی که در نوع ریختگی، حصول خواص مناسب تنها از طریق عملیات حرارتی امکان‌پذیر است [۴]. مشخصات مکانیکی مناسب فولادهای میکروآلیاژی با افزودن عناصر آلیاژی به مقدار جزئی، کنترل دقیق مراحل فولادسازی، ریخته‌گری، عملیات حرارتی و تغییر شکل مکانیکی حاصل می‌شود. بدیهی است مهم‌ترین جاذبه این نوع فولادها در مقایسه با فولادهای آلیاژی، جنبه‌های اقتصادی آن‌ها یعنی قیمت تمام شده کم، قابلیت کاربرد، قابلیت دستیابی به کیفیت و کارآبی بالا می‌باشد [۵].

۱. مقدمه

فولادهای میکروآلیاژی به فولادهای حاوی کربن و منگنزی اطلاق می‌شود که دارای حداقل ۱٪ درصد از عناصر وانادیم، نایوبیم و تیتانیم می‌باشند که اثر قوی بر ساختار از طریق کنترل واکنش‌های

نسخه اصلی مقاله در تاریخ ۱۳۸۲/۱۱/۱۴ واصل، و پس از بازنگری‌های لازم، در تاریخ ۱۳۸۳/۸/۴ به تصویب نهایی رسیده است.

سرپرستی داوری‌ها توسط دبیر تخصصی، دکتر گلستانی فرد صورت گرفته و مقاله توسط ایشان برای چاپ توصیه شده است.

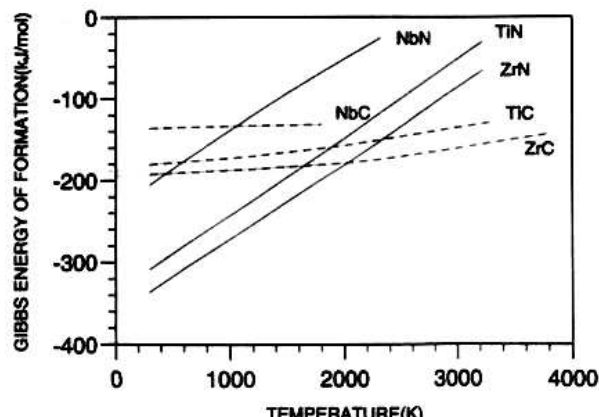
حامد علی اکبرزاده، کارشناس ارشد مهندسی مواد، پژوهشکده علوم و فناوری مهندسی، a.akbarzadeh@mail.iust.ac.ir

دکتر مرتضی تمیزی‌فر، استادیار دانشکده مهندسی مواد دانشگاه علم و صنعت ایران.

دکتر شمس‌الدین میردامادی، استاد دانشکده مهندسی مواد دانشگاه علم و صنعت ایران.

احمد عبدالحسینی، کارشناس گروه پژوهشی مواد پژوهشکده علوم و فناوری مهندسی

نکته قابل توجه اینکه ZrN و TiN خواص حالت جامد همچون نقطه ذوب بالا، سختی بالا و حتی ساختار بلوری مشابه دارند. بر این اساس رفتار مشابهی بین ZrN و TiN در فولادهای نایوبیمیم دار پیش‌بینی می‌شود که در این بین مطالعات کمی برای اثبات این نظریه صورت گرفته است [8,10]. بنابراین زیرکونیم در مواردی می‌تواند جایگزین تیتانیم شده تا نیترید پایدار تشکیل دهد. در عین حال محققان استرالیایی [9] نشان داده‌اند که افزودن زیرکونیم به فولادهای میکروآلیاژی منجر به ریزدانگی ساختار شده است. اما با این وجود مطالعات کمی بر روی رسوبات کربونیترید زیرکونیم در فولاد انجام پذیرفته است. بر این اساس در این پژوهش، تاثیر افزودن ۵٪ درصد زیرکونیم به مذاب فولاد کم کربن و بررسی نقش آن بر سختی، چقمرمگی ضربه و ریزساختار فولاد مورد بررسی و ارزیابی قرار گرفت.



شکل ۱. مشخصات ترمودینامیکی نیتریدها و کاربیدها

۲. روش تحقیق

برای تهییه فولاد مورد نظر، از قراضه فولادی با آنالیز مشخص در جدول ۱، به همراه فرومنگنر کم کربن و فروسیلیسیم زیرکونیم با آنالیز آورده شده در جدول ۲، استفاده گردید. برای تهییه مذاب از کوره القایی با فرکانس ۳۰۰۰ HZ و توان ماکریم ۷۵ KW استفاده شد.

جدول ۱. آنالیز شیمیایی اسمی قراضه فولادی برای تولید فولاد میکروآلیاژی

عنصر ماده	C	Si	Mn	P	S	Fe
قراضه فولادی	۰/۰۵	۰/۰۳	۰/۵۵	۰/۰۲	۰/۰۳	Rem

نمونه شاهد (بدون زیرکونیم) و نمونه با ۰/۰۵٪ درصد زیرکونیم در کوره مافلی با حداکثر توان ۴/۵ KW و با دقت دمایی $\pm 20^{\circ}\text{C}$ تحت

عملیات حرارتی فولادهای میکروآلیاژ ریختگی، معمولاً شامل سه مرحله: همگن کردن، آستینیه کردن و نرمالیزه یا کوئنچ در آب به همراه تمپر یا پیربرگشتی^۱ می‌باشد [6,3]. عملیات همگن‌سازی عموماً در محدوده دمایی $950\text{--}1100^{\circ}\text{C}$ و زمان‌های طولانی حدود ۷ ساعت انجام گرفته و سپس نمونه در هوای سرد می‌شود [6]. آستینیته کردن فولادهای میکروآلیاژی به منظور احلال کامل یا ناقص کربونیتریدهای عناصر میکروآلیاژی صورت می‌گیرد [3]. بر همین اساس دمای آستینیته کردن برای این نوع فولادها، بر اساس نوع عنصر میکروآلیاژی و دمای حلایت رسوبات کربونیتریدی، نیتریدی و کاربیدی و ضخامت قطعه تعیین می‌گردد [۱۰۴] و [6]. لذا به منظور دست‌یابی به خواص مطلوب، این دما باید بطور دقیق کنترل شود. Voigt و همکارانش [3] نشان داده‌اند که با افزایش دمای آستینیته کردن فولاد Nb دار، از ۹۵۰ به ۱۰۵۰ درجه سانتی‌گراد، از طریق کاهش در اندازه دانه، ۱۰٪ درصد در استحکام نمونه بهبود حاصل گردید؛ بدون آنکه افت محسوسی در چقمرمگی مشاهده شود. همچنین برای فولادهای وانادیمیدار، دمای آستینیته حدود 115°C اعلام گردیده است تا حداکثر رسوب سختی در حالت پیربرگشتی حاصل شود [3]. بعد از آستینیته کردن فولاد، با توجه به خواص موردنیاز، نمونه در آب، روغن و یا هوای خنک می‌شود که ساختار مارتنزیتی به صورت محلول فوق اشباع، بینایتی و فربیتی-پرلیتی تشکیل می‌گردد [6]. در نهایت برای فولادهای میکروآلیاژ کوئنچ شده فرآیند پیربرگشتی به دو منظور انجام می‌گیرد:

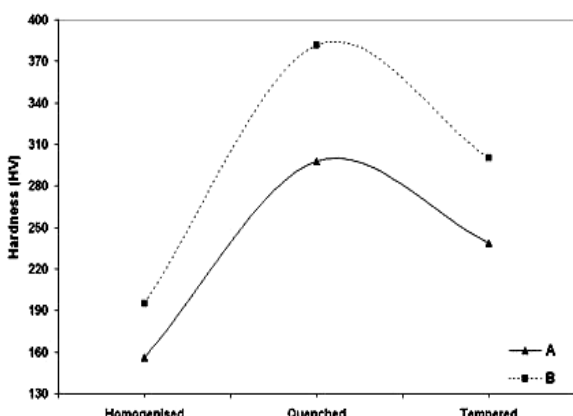
(الف) تبدیل مارتنزیت تشکیل شده در فرآیند کوئنچ به مارتنزیت پیربرگشتی شده

(ب) توزیع ریز رسوبات عناصر میکروآلیاژی در ریزساختار لذا به آن پیربرگشتی گفته می‌شود زیرا دو فرآیند تمپر و پیرسازی به طور همزمان انجام می‌گیرد. بر این اساس محدوده دمایی $580\text{--}660^{\circ}\text{C}$ و مدت زمان ۵ دقیقه تا ۵۰ ساعت برای انجام عملیات پیربرگشتی گزارش شده است [3,6]. زیرکونیم عنصری است که بیشتر به عنوان عامل کنترل کننده شکل آخالهای سولفیدی در فولادهای آرام شده^۲ مورد استفاده قرار گرفته است [7-9]. بررسی مشخصات ترمودینامیکی در شکل ۱ [8] نشان می‌دهد که زیرکونیم مشابه تیتانیم یک کاربیدساز قوی در دماهای بالا و یک نیتریدشونده قوی در دماهای پایین است [8,10]. با این وجود در دماهای بالا، زیرکونیم با کربن ترکیب شده و کاربید و ترکیبات کاربیدی را تشکیل می‌دهد، سپس با نیترؤزن ZrN را بوجود می‌آورد. بر این اساس ZrN در قبل و حین انجام تشكیل می‌گردد و آخالهای درشت، حتی تا قطر یک میکرون را به وجود می‌آوردند [8].

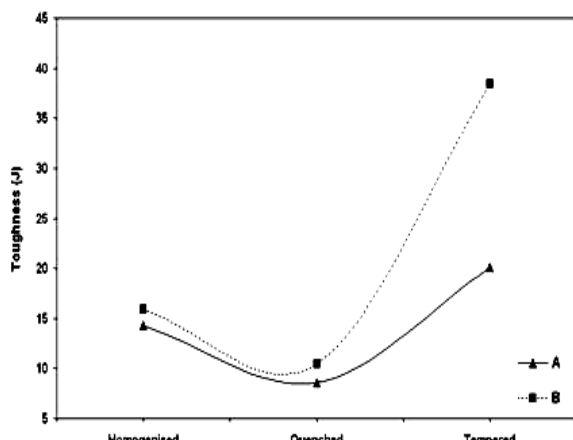
¹ Temperaging

² Killed Steels

می شود که اختلاف سختی بین دو نمونه، در حالت کوئنچ و پیربرگشتی نسبت به حالت همگن بیشتر است (شکل ۲). از طرفی اختلاف میزان چرمگی ضربه حالت همگن و کوئنچ دو نمونه ناچیز است ولی در حالت پیربرگشتی، نمونه B میزان افزایش چرمگی بیشتری را نشان می دهد. در واقع در حالت همگن شده تشکیل رسوبات می تواند باعث بهبود سختی شده باشد؛ ولی در میزان چرمگی تاثیری نداشته اند. اما در حالت پیربرگشتی شده، تشکیل مجدد رسوبات و توزیع آنها باعث بهبود توان سختی و چرمگی ضربه فولاد شده است.



شکل ۲. نتایج سختی حاصل از عملیات حرارتی



شکل ۳. نتایج چرمگی ضربه حاصل از عملیات حرارتی

شکل های ۴ و ۵ ریزساختار دو آلیاز را در حالت همگن نشان می دهند. متوسط اندازه دانه های این دو آلیاز برابر $15/7$ و $11/3$ میکرون بدست آمد. این کاهش مبین تاثیر افزودن زیرکونیم به فولاد و کاهش اندازه دانه به میزان 28 درصد است؛ که می تواند عامل افزایش میزان سختی فولاد نسبت به نمونه بدون زیرکونیم باشد.

عملیات حرارتی قرار گرفتند. سیکل های عملیات حرارتی انجام گرفته بر روی نمونه ها به شرح زیر می باشد:

- عملیات همگن سازی در دمای 100°C و در مدت زمان 6 ساعت و سرد کردن در هوا
- عملیات آستینیت کردن در دمای 950°C و مدت زمان 2 ساعت و سرد کردن در آب
- عملیات پیربرگشتی در دمای 450°C و در مدت زمان 4 ساعت و سرد کردن در هوا

جدول ۲. ترکیب شیمیایی اسمی عناصر اصلی فروآلیاژ های مورد استفاده در تولید فولاد میکروآلیاژ

عنصر فروآلیاژ	C	Si	Mn	Zr	Fe
فرومنگنز کم کربن	۱/۴	۰/۵	۷۹/۵	-	۱۸/۶
فروسیلیسیم زیرکونیم	-	۲۶	-	۵۲/۷	۲۱/۳

سپس برای ارزیابی نتایج از آزمایش های مکانیکی و مطالعات ریزساختاری استفاده گردید. آزمایش سختی ضربه میانگین، در استاندارد DIN-۵۰ ۱۳۳، با روش ویکرز و نیروی 60 kg انجام شد. آزمایش ضربه شارپی نیز بر اساس استاندارد DIN-۵۰ ۱۱۵ انجام گرفت. به منظور دستیابی به سختی و چرمگی ضربه میانگین، در هر شرایط، آزمایش ها ۳ بار تکرار گردید. برای بررسی ریزساختاری، پس از مراحل آماده سازی، سمباده زنی و پولیش کاری با محلول آلومینا، نمونه ها در محلول نیتال $1/2$ اج شدند. هم چنین برای تعیین متوسط اندازه دانه ها، از روش میانگین خطی استفاده شد. در نهایت به منظور بررسی رسوبات، نحوه توزیع عناصر و بررسی مقاطع شکست نمونه های ضربه از دستگاه SEM مدل ISIABT SR-50 استفاده گردید.

۳. نتایج و بحث

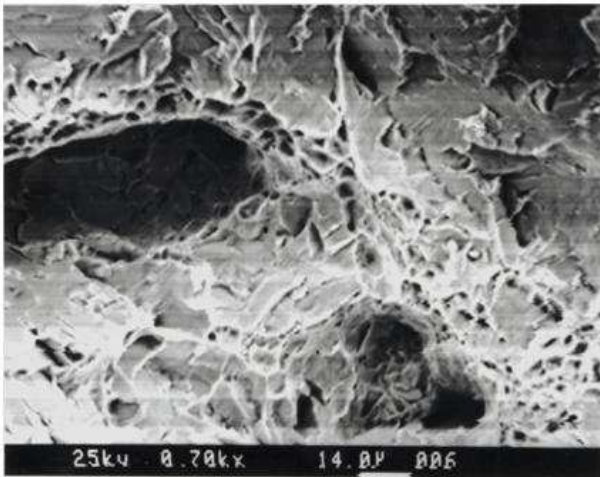
جدول ۳ آنالیز شیمیایی اسمی نمونه های A (نمونه شاهد) و B را نشان می دهد.

جدول ۳. آنالیز شیمیایی اسمی فولادهای میکروآلیاژ

ریختگی تهیه شده

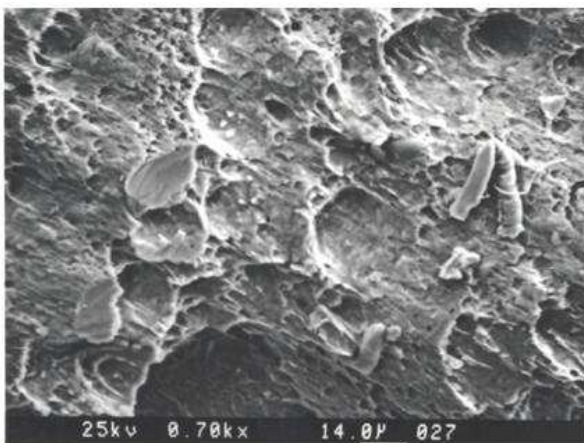
درصد عناصر	C	Mn	Si	S	P	Al	Zr	Fe	Rem
شماره نمونه									
A	۰/۶	۰/۶	۰/۶	۰/۶	۰/۶	۰/۶	۰/۶	۱	Rem

در شکل های ۲ و ۳ نتایج سختی و چرمگی ضربه حاصل از انجام عملیات حرارتی در مراحل مختلف آورده شده است. مشاهده

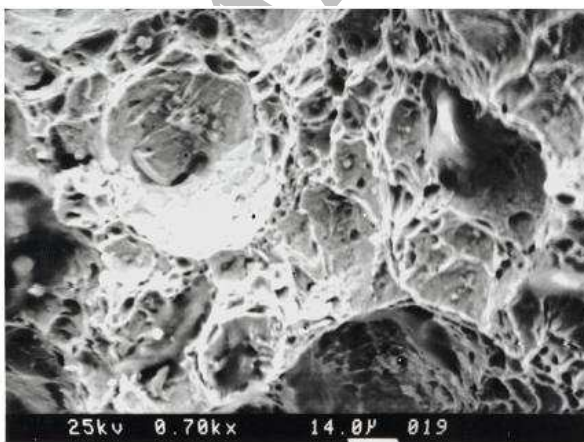


شکل ۷. مقطع شکست آلیاژ همگن شده B

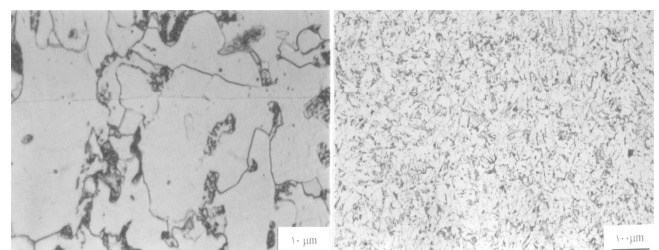
شکل ۱۰، MAP توزیع عنصر را در نمونه A پیربرگشت شده نشان می‌دهد. همچنین در شکل‌های ۱۱ و ۱۲ آنالیز EDS نقطه A و آنالیز سطحی شکل ۱۰ آورده شده است. مشاهده می‌شود که تنها عناصر اصلی آهن و منگنز تشخیص داده شده است.



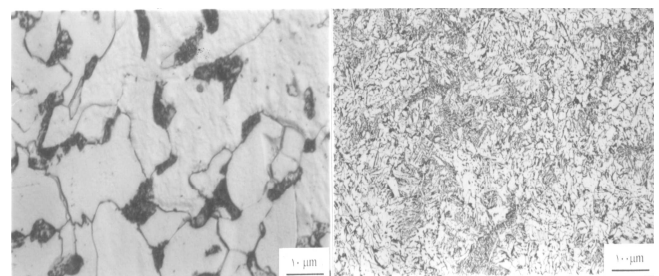
شکل ۸. مقطع شکست آلیاژ پیربرگشتی شده A



شکل ۹. مقطع شکست آلیاژ پیربرگشتی شده B

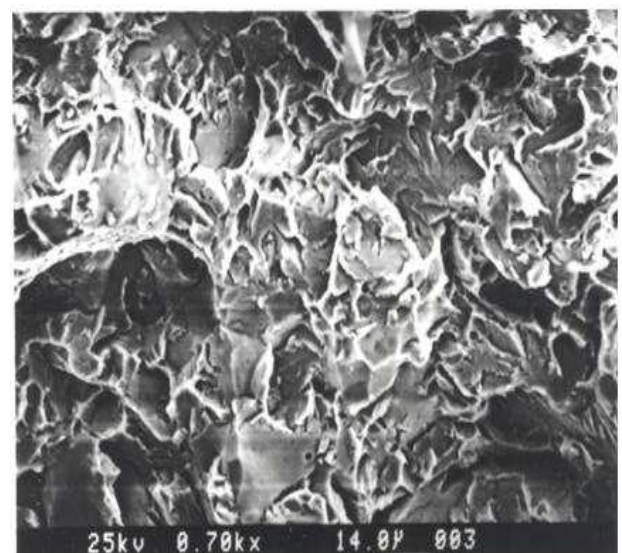


شکل ۴. ریزساختار آلیاژ A در حالت همگن شده



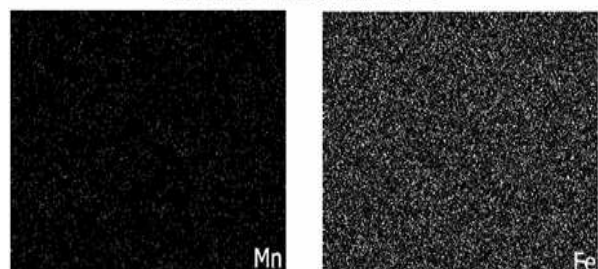
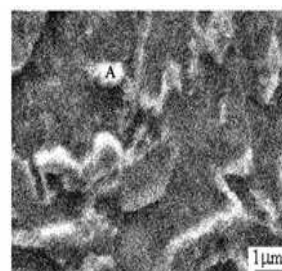
شکل ۵. ریزساختار آلیاژ B در حالت همگن شده

شکل‌های ۶ و ۷ مقطع شکست آلیاژ‌های A و B در حالت همگن شده را نشان می‌دهند. مشاهده می‌شود که شکست به صورت مرزدانه‌ای رخ داده است که ناشی از تشکیل رسوبات در مرز دانه‌ها می‌باشد. از طرفی مقایسه شکل‌های ۸ و ۹ که مقطع شکست حالت پیربرگشت شده است، شکست نرم آلیاژ B را به خوبی نشان می‌دهد. همچنین این تصاویر تاییدی بر نتایج چرمنگی ضربه (شکل ۳) می‌باشند.

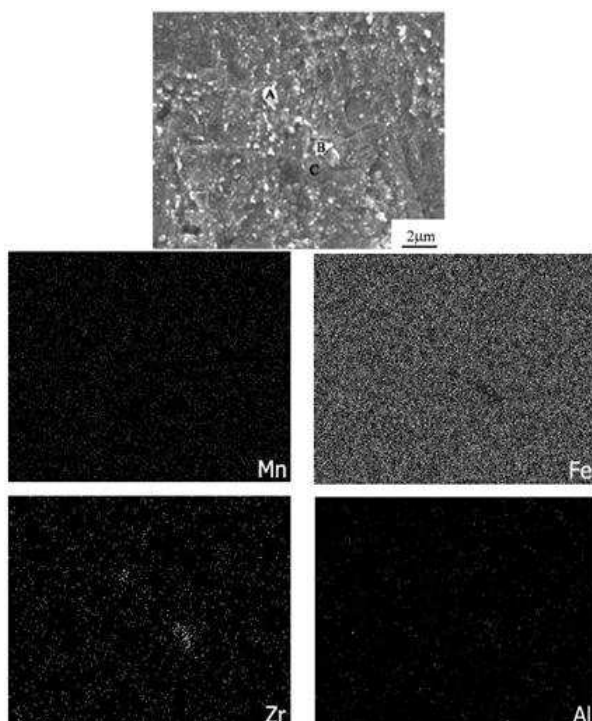


شکل ۶. مقطع شکست آلیاژ همگن شده A

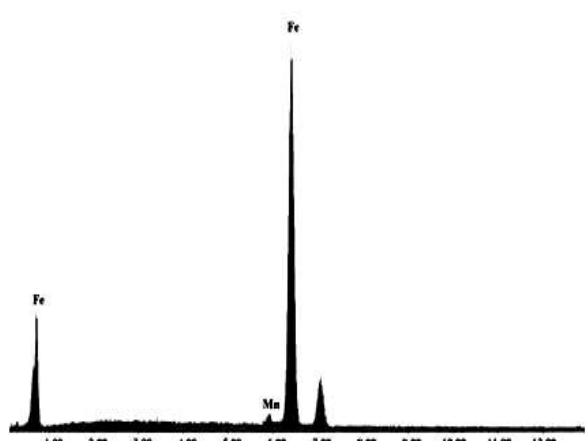
اما شکل ۱۳ که MAP توزیع عناصر نمونه پیربرگشت شده B است، عناصر زیرکونیم و آلومینیم نیز شناسایی شده‌اند. شکل‌های ۱۴ و ۱۶ که آنالیز EDS نقاط مشخص شده A، B و C در شکل ۱۳ را نشان می‌دهند، نیز تایید کننده حضور رسوبات این عناصر هستند. همچنین مشاهده می‌شود که عناصر توزیع نسبتاً یکنواختی دارند. از آنجایی که شناخت عناصر سبک امکان‌پذیر نبود و از طرفی با توجه به رسوبات تشکیل شده می‌توان پیش‌بینی نمود که این رسوبات به صورت کاربید، نیترید و یا کربونیترید هستند. در عین حال کوچکی اندازه رسوبات، شناخت و تعیین آن‌ها را دشوار نموده بود که این خود می‌تواند تاییدی بر مناسب بودن شرایط انجام عملیات حرارتی باشد.



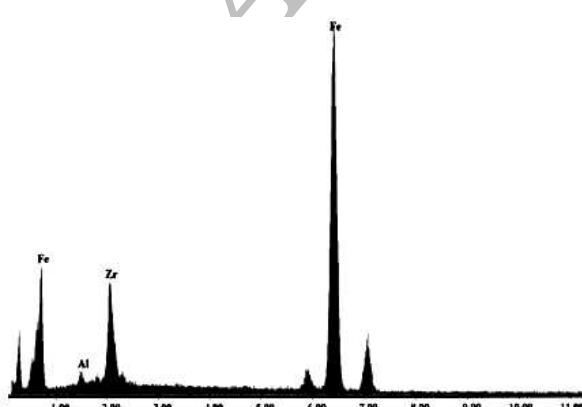
شکل ۱۰. MAP توزیع عناصر در نمونه پیربرگشتی شده A در مقطع نشان داده شده



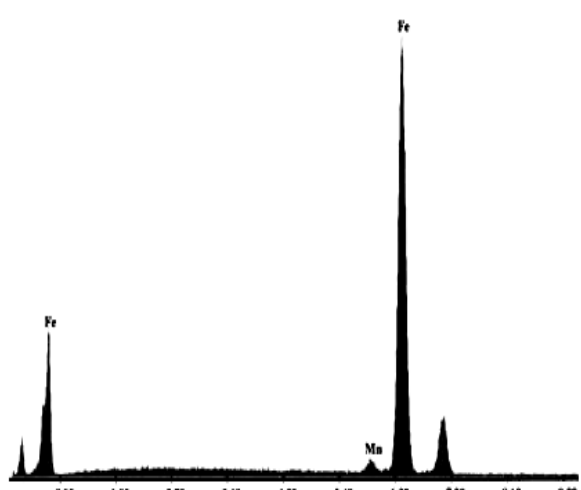
شکل ۱۳. MAP توزیع عناصر در نمونه پیربرگشتی شده B در مقطع نشان داده شده



شکل ۱۱. آنالیز EDS نقطه A در شکل ۱۰



شکل ۱۴. آنالیز EDS نقطه A در شکل ۱۳



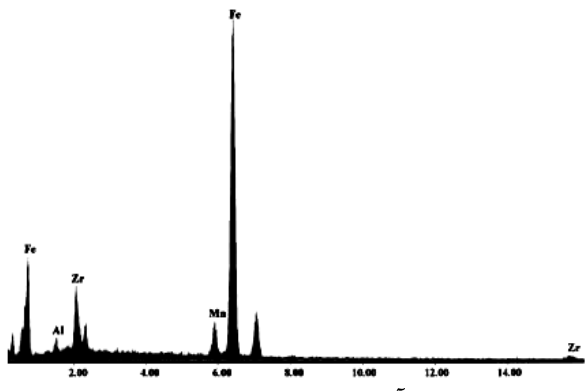
شکل ۱۲. آنالیز EDS سطحی مقطع میکروسکوپی شکل ۱۰

۵. تشکر و قدردانی

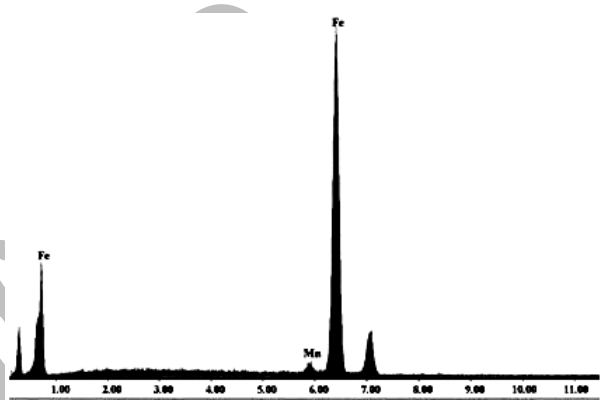
نویسنده‌گان این مقاله بر خود لازم می‌دانند تا از گروه صنایع مهمات سازی و متالورژی تهران، پژوهشکده علوم و فناوری مهام، با خاطر فراهم آوردن امکانات اجرای این طرح کمال تشکر و امتنان خویش را اعلام دارند.

مراجع

- [۱] پریدار لعیا و همکاران، "تعیین دمای رشد دانه‌های آستینیت در فولادهای میکروآلیاژ ریختگی حاوی تیتانیم، وانادیم و بر، پنجمین کنگره سالانه انجمن مهندسین متالورژی ایران، ۱۳۸۰.
- [۲] Militzer M. et al., "Precipitation Hardening of HSLA Steels", Materials Technology, No. 7, 1998, pp. 279-285.
- [۳] Voigt R. C. et al., "Development of HSLA Cast Steels Microalloyed with Vanadium and Niobium", AFS trans., 1995, pp. 791-802.
- [۴] برادران رضا و همکاران، "تأثیر وانادیم بر ساختار و خواص مکانیکی فولادهای میکروآلیاژ ریختگی حاوی تیتانیم و بر، چهارمین کنگره سالانه انجمن مهندسین متالورژی ایران، ۱۳۷۹.
- [۵] Gray, J. M, "Microalloyed steels", Advanced Materials & Precesses, Vol 1, 1990, pp.17-18.
- [۶] Lebeau C., "Production and Control of HSLA Steel Castings", AFS trans., 1984, pp.645-654.
- [۷] Bramfitt B. L. et al, "Formable high Strength low alloy steel sheet", Patent No. 4415376, 1982.
- [۸] He K., Baker T. N., "Zr-Containing Precipitates in a Ti-Nb microalloyed HSLA steel Containing 0.016wt% Zr addition", Materials Science & Engineering, Vol 215A, 1996, pp. 57-66.
- [۹] He K., Baker T. N., "Effect of Zirconium additions on Austenite grain Coarsening of C-Mn and Microalloyed Steels", Materials Science and Engineering, A256, 1998, pp. 111-119.
- [۱۰] He K., Baker T. N., "Complex Carbonitrides in Multi-Microalloyed Ti-Containing HSLA Steels and their Influence on the Mechanical Properties", Conf. Proc. Titanium technology in Microalloyed Steel, Institute of Materials London, 1996, pp. 115-132.



شکل ۱۵. آنالیز EDS نقطه B در شکل ۱۳



شکل ۱۶. آنالیز EDS نقطه C در شکل ۱۳

۴. نتیجه‌گیری

- افزودن زیرکونیم به فولاد باعث تشکیل رسوبات در حالت پیربرگشتی و بهبود در سختی و چقرمگی ضربه فولاد می‌شود.
- با انجام عملیات حرارتی اختلاف سختی حالت همگن دو فولاد برابر ۳۹ ویکرز بوده در حالیکه این میزان در حالت کوئنچ به ۸۴ و در حالت پیربرگشتی به ۶۱ ویکرز رسیده است.
- با افزودن ۰/۰۰۵ درصد زیرکونیم به فولاد ساده کربنی، چقرمگی حالت پیربرگشتی از ۲۰/۱ به ۳۸/۴ ژول افزایش یافته است؛ بطوری که این تفاوت در حالت همگن و کوئنچ شده محسوس نمی‌باشد.
- با افزودن ۰/۰۰۵ درصد زیرکونیم به فولاد ساده کربنی، اندازه متوسط دانه در حالت همگن، از ۱۵/۷ به ۱۱/۳ میکرون کاهش یافته است.
- MAP توزیع عناصر، توزیع نسبتاً یکنواختی از عناصر را بعد از انجام عملیات پیربرگشتی نشان می‌دهند.